

بهبود بازده ائرودینامیکی ایرفویل‌های نوسانی رینولذ پایین با استفاده از فلپ‌های گرنی

علیرضا نادری^۱، علیرضا بیکی^۲

۱ استادیار مجتمع دانشگاهی هوافضا، دانشگاه صنعتی مالک اشتر، تهران، prof.naderi@gmail.com

۲ کارشناس ارشد مهندسی هوافضا، مجتمع دانشگاهی هوافضا، دانشگاه صنعتی مالک اشتر، تهران

تاریخ دریافت: ۱۳۹۳/۰۷/۰۶

تاریخ پذیرش: ۱۳۹۴/۰۵/۲۴

چکیده

اصلًاً بال وسائل هوایی سرعت پایین، که در اعداد رینولذ پایین پرواز می‌کنند، برای افزایش برد و کاهش مصرف سوخت باید همانند پرندگان به صورت بالزن طراحی شود. اما بررسی ایرفویل‌های نوسانی هارمونی ساده نشان می‌دهد که هرچند در فراحمله نیروی برا بیشتر از ایرفویل ثابت ایجاد می‌کنند، اما گاهی کاهش این نیرو در فراحمله بسیار زیاد است؛ پس یا باید از مدهای پیچیده حرکتی استفاده نمود یا ایرفویل با پروفیل پیچیده طراحی کرد. هدف از تحقیق حاضر بهبود بازده ائرودینامیکی ایرفویل‌های نوسانی هارمونی ساده سرعت پایین با طراحی فلپ گرنی بر آن می‌باشد که هم در فراحمله و هم فروحمله بازده ائرودینامیکی بهتر از ایرفویل نوسانی صاف ارائه دهد. برای این منظور از روش عددی فشار پایه حجم المان محدود روی شبکه متحرک استفاده شده است. در کار حاضر، مکان و ارتفاع فلپ‌های گرنی به عنوان دو پارامتر مهم طرح مطالعه شده است. نتایج حاکی از آن است که هرچه فلپ‌ها به لبۀ فرار نزدیک‌تر باشد، بازده ائرودینامیکی افزایش می‌باشد؛ هرچند که ارتفاع آنها باید در یک حد خاص محدود شود. گردابهای تولیدشده توسط ایرفویل فلپ گرنی نقشی اساسی را در بهبود بازده ائرودینامیکی ایفا می‌کنند. این گردابهای از طریق تغییر توزیع فشار و همین‌طور تأثیراتی که بر روی جدایش جریان روی سطح بالایی ایرفویل دارند، سبب افزایش بازده ائرودینامیکی می‌شوند.

واژگان کلیدی

ایرفویل نوسانی، گرنی فلپ^۱، بازده ائرودینامیکی

۱. مقدمه

انتخاب می‌گردد [۱]. این مدهای حرکتی شکل‌های پیچیده‌ای دارند و سازوکار اعمال آنها پیچیده و هزینه‌بر است. بهجای این مدهای پیچیده شاید بتوان نوسان هارمونی ساده مدنظر قرار داد و

هرچند استفاده از سطوح بالزن برای دستیابی به بازده ائرودینامیکی با توان مصرفی کم در اعداد رینولذ پایین پیشنهاد می‌شود، اما مدهای حرکتی نوسانی کارا سبب محدودیت در این

استفاده از گرنی فلپ‌ها در ابعاد بسیار وسیع تر می‌باشدند [۱۰، ۱۲]. از پارامترهای مهم در طراحی این وسائل، ارتفاع، موقعیت نصب، زاویه نصب و شکل آنها می‌باشد [۱۰]. در ایرفویل‌های فروصوت، فلپ‌های گرنی مکش سطح بالایی ایرفویل و فشار سطح پایینی آن را افزایش می‌دهند که منجر به افزایش نیروی برای ایرفویل می‌شود. فلپ‌های گرنی با ایجاد گردابهای پاد ساعتگرد در پایین دست جریان باعث افزایش انحنای ایرفویل و تغییر موقعیت شرایط کوتا می‌شوند. همچنین ایجاد یک ناحیه چرخشی در بالا دست فلپ گرنی سبب افزایش فشار روی سطح بالایی فلپ گرنی و در نتیجه افزایش فشار کل روی ایرفویل می‌شود. ناحیه گردابهای بلندی که در پایین دست گرنی فلپ‌ها قرار دارد، می‌تواند باعث حذف یا کاهش ناحیه جدایش در سطح بالایی ایرفویل و نزدیک لبه فرار شود. از طرفی، گرنی فلپ‌ها باعث افزایش پسا می‌شوند، اما نسبت برآ به پسا تحت شرایطی بسیار بیشتر افزایش می‌باید. هدف این مقاله، بررسی توانایی گرنی فلپ‌ها به عنوان یک روش غیرفعال و طراحی آنها برای بهبود کارایی اثودینامیکی ایرفویل‌های نوسانی رینولدز پایین می‌باشد که در این نوع جریان‌ها تحقیق‌های مشابه انجام نشده است.

۲. شرح مسئله

در اینجا، برای تأثیر مناسب بر ناحیه نوسانی جریان روی سطح پایینی ایرفویل نوسانی، گرنی فلپ‌های متفاوت در لبه فرار قرار می‌گیرد. برای مقایسه، نتایج ایرفویل با انواع مختلف گرنی فلپ‌ها با هم و با ایرفویل بدون گرنی فلپ ارائه می‌شود. طول و تر ایرفویل واحد است و تمام طول‌ها با آن بی بعد می‌شود. گرنی فلپ در لبه فرار و در فاصله‌های $1/5$ و 3 درصد طول و تر از لبه فرار قرار می‌گیرد و ارتفاع آن نیز $1/5$ و 3 و 6 و 8 درصد طول و تر می‌باشد. معادله نوسان این ایرفویل به صورت رابطه ۱ است:

$$\alpha(t) = \alpha_0 + \alpha_1 \sin(2f^* t) \quad (1)$$

۳. مدل ریاضی و روش عددی

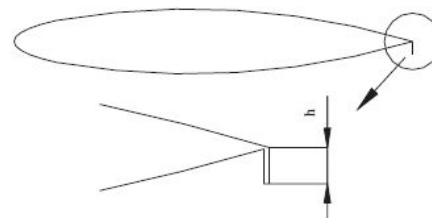
معادلات حاکم شامل معادلات بقای جرم و اندازه حرکت است که در فضای لاغرانژی - اویلری به صورت زیر نوشته می‌شوند:

$$\frac{d}{dt} \iiint_{\mathcal{G}(t)} \rho d\theta + \iint_{S(t)} \rho (\mathbf{V} - \mathbf{V}') \cdot d\mathbf{S} = 0 \quad (2)$$

$$\frac{d}{dt} \iiint_{\mathcal{G}(t)} \rho \mathbf{V} d\theta + \iint_{S(t)} \rho \mathbf{V} (\mathbf{V} - \mathbf{V}') \cdot d\mathbf{S} = \iint_{S(t)} \sigma \hat{\mathbf{n}} d\mathbf{S} \quad (3)$$

برای کنترل جریان حول آنها نیز ایده‌های آسانی پیشنهاد و اعمال کرد. تحقیقات انجام شده در زمینه ایرفویل‌های نوسانی نشان می‌دهد که ضرایب اثودینامیکی به طور چشم‌گیری تحت تأثیر مشخصات تابع نوسان قرار دارند [۲]. هرچند افزایش مقدار برآ در فراحمله از حالت شباهت‌پایای ایرفویل بیشتر است، اما در فراحمله با کاهش زیاد مقدار برآ مواجه شده و ممکن است به صورت نوسانی باشد [۳]. بنابراین کنترل یا مدیریت جریان به منظور حفظ یا افزایش نیروی برآ در فراحمله و جلوگیری از کاهش آن در فراحمله ضروری است. افزایش بازده اثودینامیکی و نیروی پسا در این دو مرحله نیز باید مد نظر قرار گیرد. تاکنون برای کنترل جریان روی ایرفویل‌های نوسانی از روش‌های متنوعی استفاده شده است [۴-۵]. از طرفی فلپ‌های گرنی به عنوان یک روش کنترل جریان غیرفعال در سالیان اخیر قابلیت‌های خود را نشان داده‌اند [۶-۷] و از آنها برای کنترل جریان روی ایرفویل‌های نوسانی رینولدز بالا استفاده شده است [۸-۹].

فلپ‌های گرنی نخستین بار توسط دانیل گرنی، راندۀ اتومبیل‌های مسابقه، در مسابقات ایندیاناپولس^۳ مورد استفاده قرار گرفت [۱۰-۱۱]. این فلپ‌ها صفحه‌هایی ساده‌اند که معمولاً ارتفاع بسیار کمی در مقابل طول و تر ایرفویل داشته و به صورت عمودی به لبه فرار ایرفویل نصب می‌شوند (شکل ۱). تاکنون از فلپ‌های گرنی در کاربردهای متنوعی چون پره فن‌ها به منظور خنک‌کاری [۱۲]، بهبود بازده اثودینامیک ایرفویل‌ها [۱۰] و جز این‌ها استفاده شده است.



شکل ۱. هندسه ایرفویل به همراه گرنی فلپ

اولین بررسی آزمایشگاهی روی گرنی فلپ‌ها توسط لیک روی یک ایرفویل نیومن ثابت در اعداد رینولدز بالا صورت گرفت [۱۳]. این پژوهشگر نتیجه گرفت که گرنی فلپ با ارتفاع $1/25$ درصد طول و تر، باعث افزایش برآ و کاهش پسا می‌شود. همچنین نشان داد برای اینکه بیشتر کارایی اثودینامیکی از گرنی فلپ‌ها به دست آید، باید ارتفاع آنها بین ۱ تا ۲ درصد طول و تر ایرفویل باشد. با این وجود تحقیقات دیگر، بیانگر افزایش پسا و

در این شکل زاویه نصب ایرفویل 10° درجه است و گزینی فلپ با ارتفاع $1/5$ درصد طول وتر ایرفویل در لبه فرار ایرفویل قرار دارد. روی محیط ایرفویل با شبکه چهارضلعی و کمی دورتر شبکه بی‌سازمان سه‌ضلعی تا محل مرزهای آزاد، ورودی و خروجی استفاده می‌شود. فاصله مرکز ایرفویل از مرزهای آزاد و ورودی و خروجی 30° است. سرعت جریان در مرز ورودی و مرزهای آزاد واحد است. مقدار فشار در مرز خروجی نیز واحد است. عدد رینولز جریان بر مبنای طول وتر ایرفویل و سرعت ورودی برابر 1000 است. بهمنظور بررسی حساسیت حل به شبکه محاسباتی و گام زمانی از سه شبکه ریز و درشت بهترتبیب با حدود 160.93×70.69 و 259.49×25.05 و 259.49×25.05 روی حالت شکل ۲ استفاده شده است که نتایج نشان‌دهنده اختلاف ناچیز جواب‌ها در شبکه‌های متوسط و ریز و با این گام‌های زمانی است (شکل‌های ۳ و ۴). در این مقاله در همهٔ حالات بیش از 16000 گره در کل میدان وجود داشته و گام زمانی نیز 0.05 در نظر گرفته شده است.

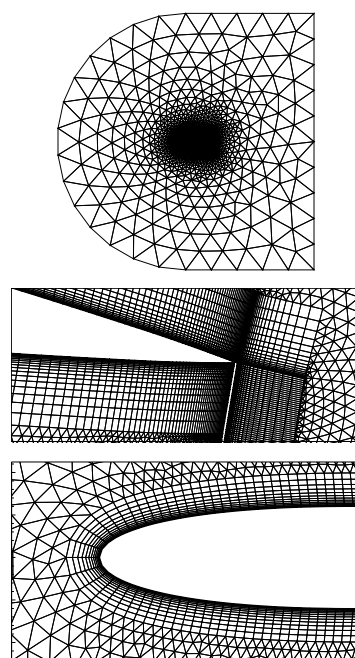
۴. اعتبارسنجی روش عددی

برای بررسی اعتبار روش عددی حاضر جریان آرام حول یک سیلندر با حرکت نوسانی انتقالی عمود بر مسیر جریان مورد بررسی قرار گرفته است. معادله حرکت سیلندر به صورت $y = A \cos(2\pi f_e t)$ می‌باشد. در این معادله A دامنه نوسان سیلندر است که مقدار آن $2/0^\circ$ قطر سیلندر است و f_e فرکانس نوسان سیلندر است که مقدار آن $8/0^\circ$ برابر فرکانس ریزش گردابه (f_o) جریان حول سیلندر ثابت است. در شکل ۵ شبکه کار رفته حول این سیلندر نوسانی نمایش داده شده است. ضریب فشار و ضریب اصطکاک برای این سیلندر نوسانی، وقتی سیلندر در بالاترین محل حرکت خود قرار دارد با نتایج حاصل از کار جیلمن و کوتی [۱۶] و یانگ و بالاراس [۱۷] در شکل ۶ مقایسه شده است. محور افقی این گرافها زاویه را برحسب درجه نشان می‌دهند که از نقطه سکون در جهت ساعت‌گرد افزایش می‌یابد. جواب‌های روش حل حاضر نسبت به جواب‌های یانگ و بالاراس به جواب‌های جیلمن و کوتی نزدیکتر است.

۵. بررسی نتایج

برای بررسی موقعیت مکان نصب فلپ‌های گرنی، آنها دقیقاً در لبه فرار و همچنین در فواصلی که 0.97 و 0.985 درصد طول وتر از

به‌طوری که در این روابط $\hat{V} = u\hat{i} + v\hat{j}$ بردار سرعت سیال، $\hat{V}' = u'\hat{i} + v'\hat{j}$ بردار سرعت سطوح حجم محدود و $dS = (ds_x)\hat{i} + (ds_y)\hat{j}$ بردار عمود بر سطح سلول با بزرگی $\hat{n} = [(ds_x)^2 + (ds_y)^2]^{1/2}$ بردار یکه عمود بر سطح سلول و حجم مربوط به هر حجم محدود است. همچنین در این معادله σ تانسور تنش کل است. در این مقاله از دیدگاه لاغرانژی - اویلری برای حل میدان جریان و با روش حجم المان محدود استفاده می‌شود [۱۴-۱۵]. از رویکرد مرتبه دوم زمانی در تقریب جملات زمانی استفاده شده است. برای تقریب جملات پخش در معادلات، از توابع شبکی اجزای محدود استفاده می‌شود. جملات فشار نیز با استفاده از آن تقریب زده می‌شوند. در تمامی معادلات حاکم بخشی از جملات جابه‌جایی که به‌طور صریح متاثر از حرکت شبکه است با استفاده از قوانین بقای هندسی و رویکردهای زمانی ایجاد شده به‌دست می‌آید. بخش دوم جملات جابه‌جایی هم به‌طور یکپارچه در تمام معادلات حاکم با روش بالادست و با استفاده از آثار فیزیک جریان تقریب زده می‌شوند. با حل جریان در دامنه‌های پیچیده نشان داده شده است که روش ترکیبی به‌طور یکسان و دقیقی قادر به محاسبه شارها در المان‌های ثابت یا متحرک سه‌ضلعی و چهارضلعی می‌باشد [۱۴-۱۵]. شبکه به کار رفته حول این ایرفویل به صورت ترکیبی است. بخشی از شبکه اولیه قبل از شروع دوران ایرفویل در شکل ۲ نمایش داده شده است.

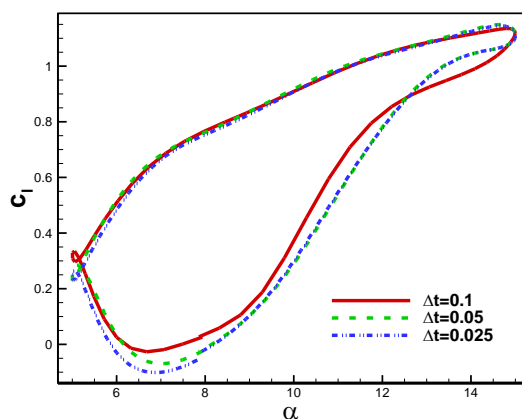


شکل ۲. شبکه ترکیبی ایجاد شده حول ایرفویل نوسانی

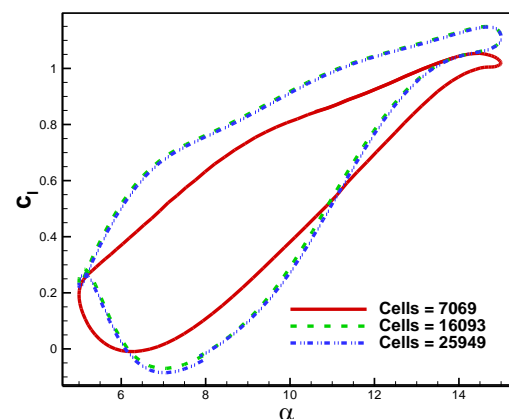
کارایی اثروینامیکی نیز افزایش یافته می‌یابد. شکل ۹ آثار ارتفاع را بر ضرایب اثروینامیکی ایرفویل نوسانی نشان می‌دهد. برای این منظور گرنی فلپ‌ها با ارتفاع‌های ۱/۵، ۳، ۶ و ۸ درصد طول وتر ایرفویل دقیقاً در لبه فرار قرار گرفته‌اند. همان‌طور که مشاهده می‌شود، برا و پسا هر دو افزایش یافته و هرچه ارتفاع گرنی فلپ‌ها بیشتر باشد، این افزایش نیز بیشتر است.

شکل ۱۰ نشان می‌دهد که با وجود افزایش پسا، بازده اثروینامیکی افزایش یافته است. از طرفی، با مشاهده شکل ۱۰ می‌توان دریافت که هرچه گرنی فلپ‌ها ارتفاع بیشتری داشته باشند در زوایای حمله پایین کارایی بیشتری خواهند داشت. شکل ۱۱ خطوط جریان و شکل ۱۲ میدان فشار اطراف ایرفویل صاف و ایرفویل با فلپ به ارتفاع ۶ درصد وتر که در لبه فرار قرار گرفته است، را در حدود سه‌چهارم از پریود کامل نوسان آن مقایسه می‌کند. پیکان به‌سمت بالا به معنای فراحمله و پیکان به‌سمت پایین به معنای فروحمله است.

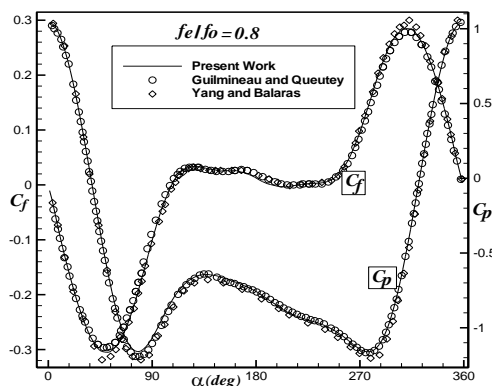
لبه حمله فاصله دارند، نصب شده‌اند. در اینجا ارتفاع فلپ ۱/۵ درصد طول وتر است. قسمت الف از شکل ۷ نشان‌دهنده افزایش نیروی برا روی ایرفویل‌های نوسانی در تمام حلقة نوسان می‌باشد. نتایج نشان می‌دهد ضریب برا هم در فراحمله و هم در فروحمله به مقدار قابل توجهی افزایش یافته است. همچنین مشاهده می‌شود که هرچه مکان نصب فلپ‌های گرنی به لبه فرار ایرفویل نزدیک‌تر باشد، برا بیشتر افزایش یافته است و این افزایش برا در بیشینه زاویه حمله مشهودتر است. از طرفی با توجه به قسمت ب از شکل ۷ مشاهده می‌شود که پسا نیز افزایش یافته است و هرچه فلپ‌های گرنی به لبه فرار نزدیک‌تر شود، این افزایش پسا نیز بیشتر می‌باشد. با وجود شکل ۸ نشان می‌دهد که بازده اثروینامیکی افزایش یافته است. همچنین ایرفویل ثابت و ایرفویل ثابتی که گرنی فلپ در لبه فرار آن قرار گرفته است در اینجا نیز مورد مقایسه قرار گرفته است. همان‌گونه که مشاهده می‌شود، با نزدیک‌شدن به لبه فرار، ضریب برا و



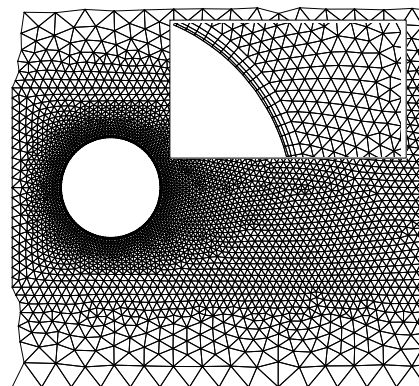
شکل ۴. بررسی استقلال زمانی



شکل ۳. بررسی استقلال شبکه



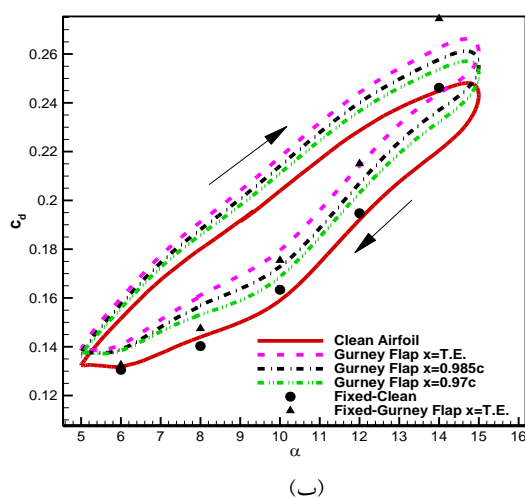
شکل ۶. مقایسه نتایج عددی حاضر برای یک سیلندر نوسانی با نتایج جیلمن و کوتی [۱۶] و یانگ و بالاراس [۱۷]



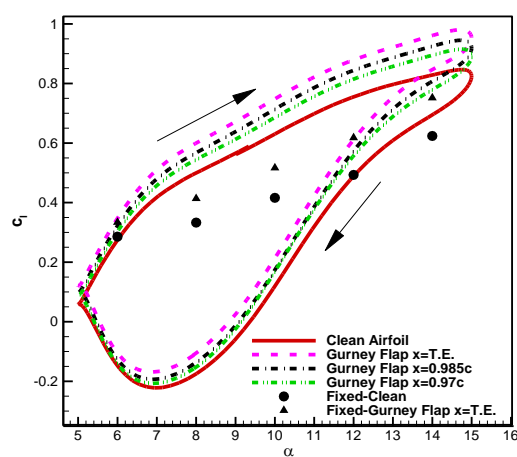
شکل ۵. نمایی از نمونه شبکه به کار رفته در اطراف سیلندر دایروی

بیشتری دارد، پس ایرفویل گرنی نسبت به ایرفویل صاف مکش بیشتری حس می‌کند. از طرفی، به دلیل انسداد جریان که حاصل وجود فلپ گرنی در مسیر جریان است، سطح پایین ایرفویل گرنی فشار بیشتری حس می‌کند. افزایش مکش در سطح بالایی و افزایش فشار روی سطح پایینی سبب افزایش مضاعف برآمی شود. در زوایای کم فروحمله گردابهای اضافی روی سطح بالایی ایرفویل گرنی فلپ تولید شده که آن هم سبب افزایش برآفروحمله در زوایای پایین نسبت به ایرفویل صاف می‌شود.

میدان جریان با استفاده از خطوط جریان نمایش داده شده است. با توجه به اینکه خطوط جریان خطوطی مماس بر بردار سرعت‌اند و سطح جسم متحرک است، ممکن است این خطوط عمود بر سطح نیز باشند و این حالت در میدان‌های جریان مرجع ۱۷ نیز مشاهده می‌شود. گردابه‌های پاد ساعتگرد ایجاد شده ایرفویل با گرنی فلپ، به سمت پایین دست حرکت می‌کند و سبب ایجاد ناحیه‌ای کم‌فارمتر از ایرفویل صاف در لبه فرار می‌شوند. گردابه‌های سطح بالایی ایرفویل گرنی بزرگ‌تر و سرعت دوران

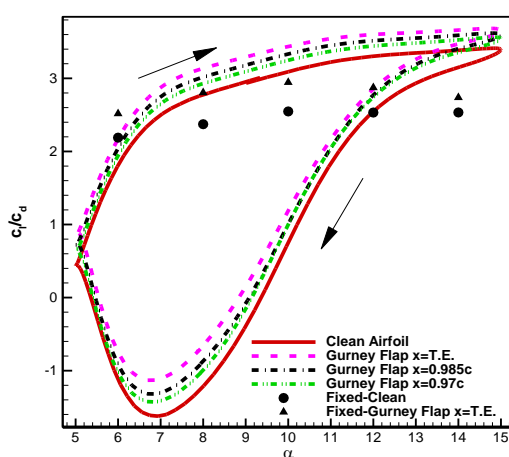


(ب)



(الف)

شکل ۷. تغییرات ضرایب ائرودینامیکی با مکان قرارگیری فلپ‌های گرنی؛ (الف) ضریب برآ، (ب) ضریب پسا



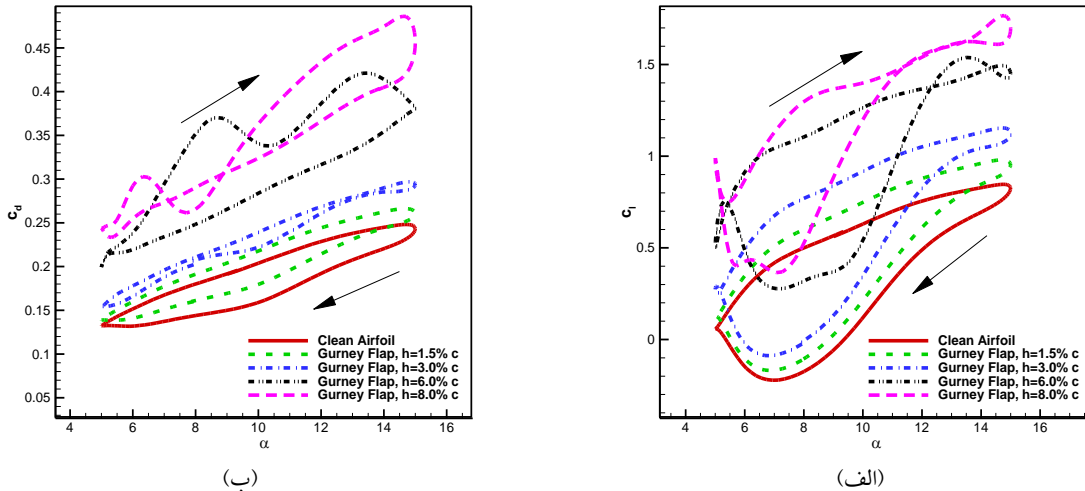
شکل ۸. تغییرات بازده ائرودینامیکی با تغییر مکان قرارگیری فلپ‌های گرنی

است. بررسی نتایج نشان می‌دهد که فلپ‌های گرنی به‌طور چشمگیری باعث افزایش برآ و پسا می‌شوند اما میزان افزایش برآ بیشتر می‌باشد که منجر به افزایش بازده ائرودینامیکی

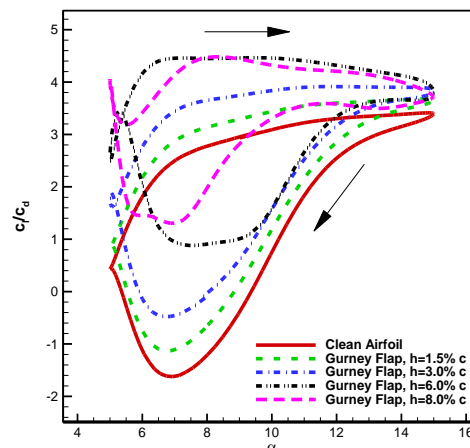
در این مقاله با استفاده از یک روش عددی فشار پایه حجم المان محدود بازده ائرودینامیکی حاصل از فلپ‌های گرنی در یک ایرفویل نوسانی در عدد رینولدز پایین ۱۰۰۰ به دست آورده شده

ایجاد نیروی مناسب جهت افزایش بازده در سطح بالای ایرفویل حاصل از تغییرات حرکتی گردابه لبه حمله و در سطح زیر ایرفویل ناشی از افزایش فشار است.

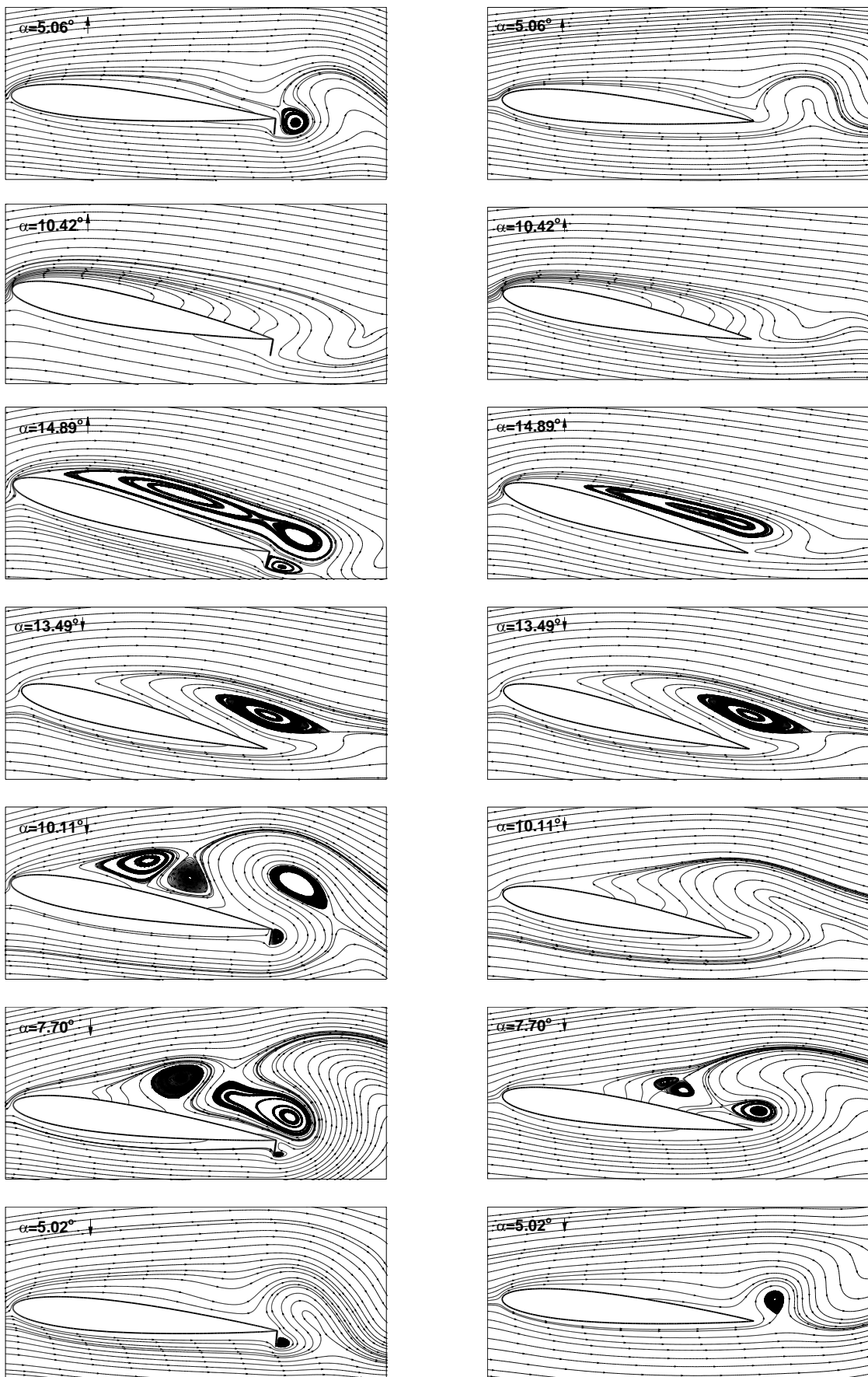
ایرفویل‌های نوسانی می‌شود. نتایج نشان می‌دهد که هرچه مکان نصب گرنی فلپ‌ها به لبه فرار نزدیک‌تر شود، بازده ائرودینامیکی بیشتر می‌شود؛ اما ارتفاع آن تا حد محدودی می‌تواند افزایش یابد.



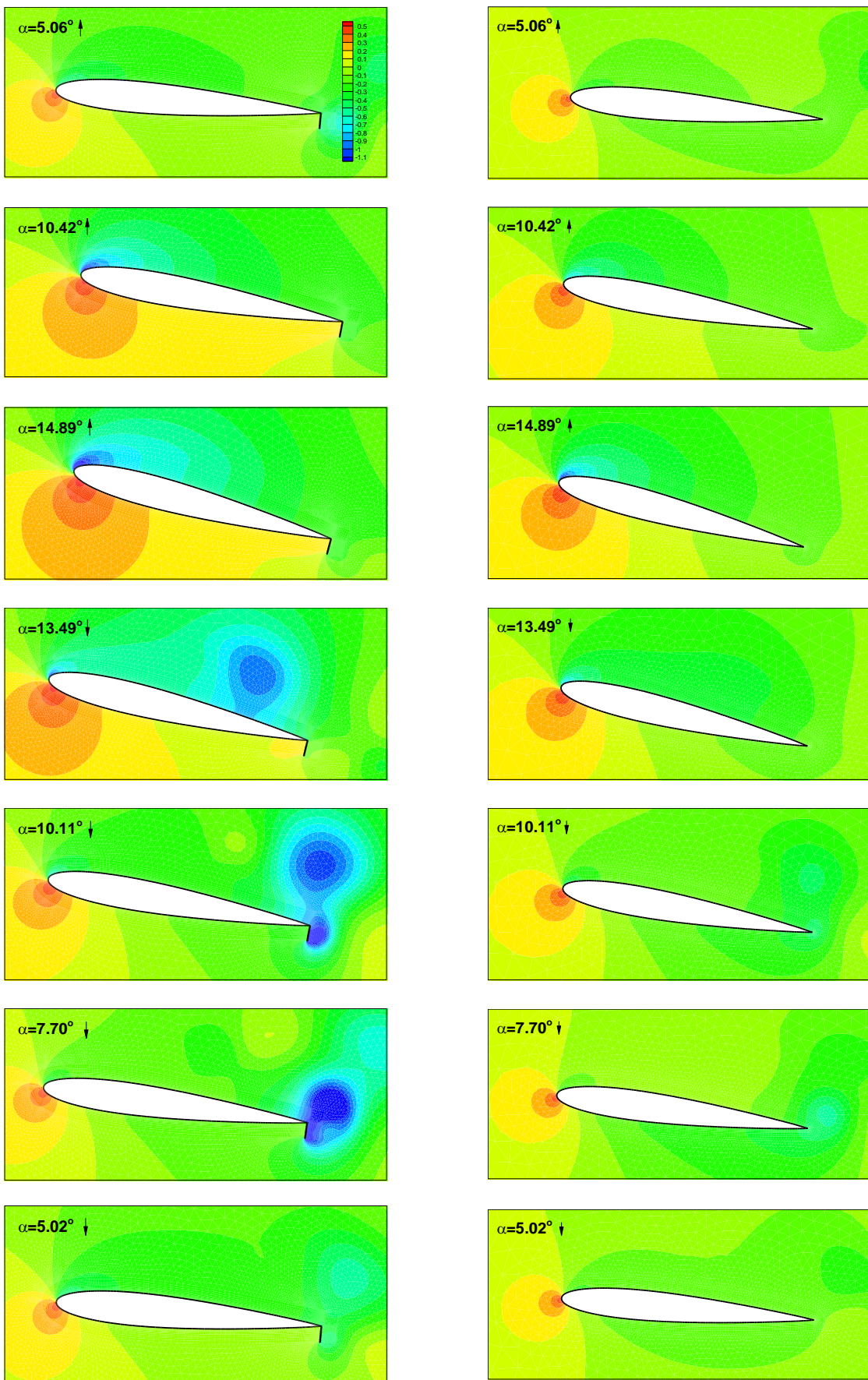
شکل ۹. تغییرات ضرایب ائرودینامیکی با ارتفاع فلپ‌های گرنی؛ (الف) ضریب برا، ب) ضریب پسا



شکل ۱۰. تغییرات کارایی ائرودینامیکی با تغییر ارتفاع فلپ‌های گرنی



شکل ۱۱. مقایسه خطوط جریان اطراف ایرفویل صاف و ایرفویل با گردنی فلپ



شکل ۱۲. مقایسه میدان فشار اطراف ایرفویل صاف و ایرفویل با گردنی فلپ

- [1] Wang, Z.J. "Aerodynamic efficiency of flapping flight: analysis of a two-stroke model." *Journal of Experimental Biology*, 2008, 211, pp. 234-238.
- [2] Amiralaei, M.R., A. ghanbari, S.M. Hashemi. "An investigation into the effects of unsteady parameters on the aerodynamics of a low Reynolds number pitching airfoil." *Journal of Fluids and Structures*, 2010, 26(6), pp. 979-993.
- [۳] نادری، علیرضا، مسعود دربندی، محمد طبیی رهنی. "بررسی تأثیر نوسان بر ضرایب اثرودینامیکی ایرفویل با یک الگوریتم دقیق عددی"، هفدهمین کنفرانس سالانه مهندسی مکانیک، دانشگاه تهران.
- [4] Post, M.L., T. C. Corke. "Separation control using plasma actuators: Dynamic stall vortex control on oscillating airfoil." *AIAA Journal*, 2006, 44(12), pp. 3125-3135.
- [5] Rehman, A., K. Kontis. "Synthetic jet control effectiveness on stationary and pitching airfoils." *Journal of Aircraft*, 2006, 43(6), pp. 1782-1789.
- [6] Brown, L., A. Filippone. "Aerfoil at low speed with Gurney flaps." *The Aeronautical Journal*, 2003, pp. 539-564.
- [7] Li, Y., J. Wang, P. Zhang. "Influences of mounting angles and locations on the effects of gurney flaps." *Journal of Aircraft*, 2003. 40(3), pp. 494-498.
- [8] Joo, W., Lee, Bo-Sung, Yee, Kwanjung, Lee, Dong-Ho. "Combining passive control method for dynamic stall control." *Journal of Aircraft*, 2006. 43(4), pp.1120-1128.
- [9] Yee, K., W. Joo, D.H. Lee. "Aerodynamic performance analysis of a Gurney flap for rotorcraft application." *Journal of Aircraft*, 2007. 44(3), pp. 1014-1003.
- [10] Wang, J.J., Y. C. Li, K. S. Choi. "Gurney flap-Lift enhancement, mechanisms and applications." *Progress in Aerospace Sciences*, 2008. 44(1), pp. 22-47.
- [11] Julia, C., et al. "An Experimental Investigation into the Effect of Gurney Flaps on Various Airfoils", in 49th AIAA Aerospace Sciences Meeting including the New Horizons Forum and Aerospace Exposition. 2011, American Institute of Aeronautics and Astronautics.
- [12] Greenblatt, D. "Application of Large Gurney Flaps on Low Reynolds Number Fan Blades." *Journal of Fluids Engineering*, 2011. 133(2): pp. 021102-021102.
- [13] Liebeck, R.H. "Design of Subsonic Airfoils for High Lift." *Journal of Aircraft*, 1978. 15(9): pp. 547-561.
- [14] Darbandi, M., A. Naderi. "Multiblock hybrid grid finite volume method to solve flow in irregular geometries." *Computer Methods in Applied Mechanics and Engineering*, 2006, 196(1-3): pp. 321-336.
- [15] Naderi, A., M. Darbandi, M. Taeibi-Rahni. "Developing a unified FVE-ALE approach to solve unsteady fluid flow with moving boundaries." *International journal for numerical methods in fluids*, 2010. 63(1), pp. 40-68.
- [16] Guilmineau, E., P. Queutey. "A numerical simulation of vortex shedding from an oscillating circular cylinder." *Journal of Fluids and Structures*, 2002. 16(6): pp. 773-794.
- [17] Yang, J., E. Balaras. "An embedded-boundary formulation for large-eddy simulation of turbulent flows interacting with moving boundaries." *Journal of Computational Physics*, 2006, 215(1).

پی‌نوشت

-
1. Gurney Flap or wickerbill
 2. Daniel Sexton Gurney (1931 -)
 3. Indianapolis